

# Graph Approximation using MST

Zhengyu Jin

Department of Computer Science and Technology  
Zhejiang University

2025 年 11 月 26 日

# Overview

---

1. Steiner Tree Problem
2. TSP Problem
3. Shortest Hamiltonian Path

# 1. Steiner Tree Problem

# Introduction

## 定义 (Steiner 树问题)

给定一个带权图  $G = (V, E)$  和顶点子集  $R \subseteq V$  (称为终端点)，寻找一棵权重最小的树，使其连接  $R$  中的所有顶点。该树可以包含  $V \setminus R$  中的其他顶点 (称为 Steiner 点) 以降低总权重。



图: Steiner 树问题示例

# Introduction

---

为了简单起见，我们考虑完全图上满足度量的斯坦纳树问题。

给定无向完全图  $G = (V, E)$ （任意两个顶点之间都存在边），并为边赋予非负权值  $c: E \rightarrow \mathbb{R}^+$ ；此外，这个权值需要满足度量要求：设  $(i, j) \in E$  代表顶点  $i$  到  $j$  的边，并记  $c(i, j)$  等价于该边对应权值，那么  $c$  应该满足度量性质（类比于泛函分析中的定义）：对称、非负、有限，且满足三角不等式：对任意的  $x, y, z \in V$ ：

$$c(x, y) \leq c(x, z) + c(z, y)$$

# 度量斯坦纳树问题的表述

---

那么  $G$  上的斯坦纳树问题可以表述为：给定  $V$  的一个子集  $S \subseteq V$ ，求  $G$  的连通子图  $T = (S', E')$ ，使得  $S$  中的所有点都在  $T$  中（即  $S \subseteq S' \subseteq V$ ），且  $T$  的边权之和

$$c(T) := \sum_{e \in E'} c(e)$$

最小。 $S$  中的点便是“终端”， $S' \setminus S$  中的点便是斯坦纳点。

不过即使加了这么多的限制条件，它仍然是一个 NP-Hard 问题.

# 算法设计与分析

我们可以直接利用 MST 设计近似算法。

## 定理

设完全图  $G$  关于  $S$  的导出子图为  $\tilde{G}$ ; 直接在图  $\tilde{G}$  中求最小生成树，就是斯坦纳树问题的一个近似解。在满足三角不等式的前提下，这是一个 2-近似的算法，且数字 2 是紧的。

## 证明.

假设给定  $S$  后子图  $\tilde{G}$  上 MST 问题的解为  $T$ 、最优解斯坦纳树问题的最优解为  $T^*$ 。

# 算法设计与分析

## 证明（续）.

我们将  $T^*$  中的边都复制一次（在原来的边基础上再添一条相同的边），得到图  $T_2^*$ 。 $T_2^*$  中每个顶点的度数都是偶数，因此存在一条欧拉回路  $L$ ，易知  $c(L) = c(T_2^*) = 2c(T^*)$ 。

在图  $G$  中，从  $S$  中的某一个点出发沿着回路  $L$  前进，如果遇到了已经访问过的点或者非  $S$  中的点（斯坦纳点），则将其跳过。由于  $G$  是完全图，这种“跳跃”或称 *short-cutting* 总是能做到的。通过这种方式就得到了一条  $S$  上的路径  $P$ 。

# 算法设计与分析（续）

## 证明（续）.

例如，如下图所示是  $L$  的一部分，红色代表  $S$  中的点，蓝色则是斯坦纳点。由于节点  $a$  之后遇到了斯坦纳点，我们要 short-cutting 到  $b$ ；在到达  $c$  之后，由于  $a$  已经走过了，我们要直接跳到  $d$ 。由于三角不等式成立，因此通过这种方法得到的路径  $P$  的长度不会超过  $L$ 。

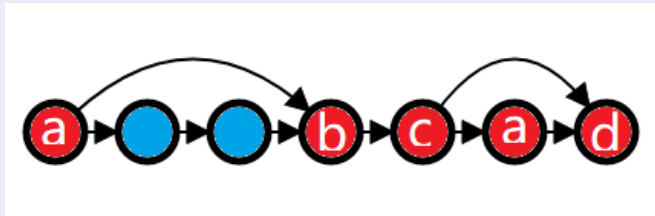


图: Short-cutting 示例

# 算法设计与分析（续）

## 证明（续）.

也可以这样理解：给定  $T^*$ ，考虑其 DFS 遍历得到的顶点序列，其中每个顶点都被访问了两次；我们仅保留该序列中的终端节点，并且仅保留第一次访问的顶点而去掉第二次访问的节点，构成的序列就得到了路径  $P$ 。

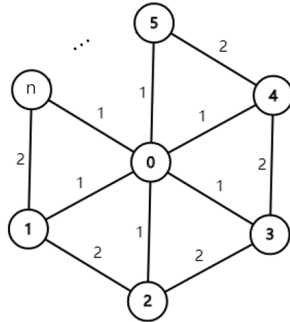
注意到  $P$  是  $\tilde{G}$  的一个生成树，显见

$$c(T) \leq c(P) \leq c(T_2^*) = 2c(T^*)$$

因此  $T$  便是一个 2-近似解。 □

# 紧性分析

而且“2”是紧的，考虑下面的轮图。



令  $S$  代表序号  $1, 2, \dots, n$  对应的点，那么利用中间的 0 号点作为斯坦纳点，可以得到最优解  $n$ ；但显然利用前面的算法会得到  $2(n - 1)$  的结果。令  $n$  充分大即可得到 2 的近似比。

(另一方面，这里的 2 也是不能提升的，因为要保证三角不等式成立。)

## 2. TSP Problem

# 旅行商问题 (Travelling Salesman Problem, TSP)

---

我们在之前已经介绍了旅行商 (Travelling Salesman Problem, TSP) 问题，并给出了 ILP 建模。

考虑完全图上的 TSP 问题：给定无向完全图  $G = (V, E)$  以及边权  $c: E \rightarrow \mathbb{R}^+$ ，求权重最小的哈密顿回路。设  $|V| = n$ ，那么该问题也就是要确定一个顶点顺序  $\pi$  使得

$$\sum_{i=1}^n c(v_{\pi(i)}, v_{\pi(i+1)}) \text{ 最小, 其中 } \pi(n+1) = \pi(1)$$

# TSP 的不可近似性

完全图上的 TSP 是 NP-难问题，在  $P \neq NP$  的假设下，有下述定理：

## 定理

完全图上的 TSP 不存在近似比为  $2^{poly(n)}$  的多项式算法，其中  $poly(n)$  表示关于  $n$  的多项式，用作 TSP 输入的完全图规模为  $n$ （即  $|V| = n$ ）。

# TSP 的不可近似性：证明

证明.

考虑简单无向图  $G' = (V, E)$ , 我们使用它的顶点构造完全图  $G = (V, E)$ ,  $e \in E$  的边权  $c(e)$  定义如下:

$$c(e) = \begin{cases} 1 & e \in E \\ 2^{\text{poly}(n)} n & e \notin E \end{cases}$$

$G$  的规模仍然是  $n$  的多项式。

# TSP 的不可近似性：证明（续）

## 证明（续）.

用反证法，假设存在 TSP 的  $2^{\text{poly}(n)}$  的多项式近似算法，利用其求解  $G$  上的 TSP 问题。若 TSP 的最优解为  $n$ ，则  $G'$  中一定存在一个 Hamilton 回路，近似算法的目标函数值一定不超过  $2^{\text{poly}(n)}n$ ；否则  $G'$  中无 Hamilton 回路，最优解一定不小于  $2^{\text{poly}(n)}n + n - 1$ ，近似算法的解也不会更好。

这样一来，由这种近似算法求解后，根据近似解与  $2^{\text{poly}(n)}n$  的大小关系，就可以解决  $G'$  的 Hamilton 回路问题。但 Hamilton 回路是一个 NP-难问题，不能被归约到多项式时间求解，矛盾！

□

# 度量 TSP (Metric TSP)

---

既然普通完全图上的旅行商问题这么难，我们给它加一点限制：在  $c$  满足度量性质（主要是三角不等式）的完全图上（所谓 Metric TSP），TSP 就有很好的近似比，类似于斯坦纳树问题，用 MST 松弛的思想可以立即得到一个 2-近似算法。证明与斯坦纳树问题完全相同：

1. 先求图  $G$  的 MST，得  $T^*$ ；
2. 将  $T^*$  的边加倍，得到欧拉图  $T_2^*$ ；
3. 沿着  $T_2^*$  的欧拉回路  $L$  跳过所有已访问过的点，构造一个 Hamilton 回路  $H$ ；
4.  $c(H) \leq c(T_2^*) = 2c(T^*) \leq 2c(H^*)$ 。

# 紧性分析

其中寻找欧拉回路可以用 DFS 或者 Fleury 算法。在一些资料中，上述算法被称作 Double-tree algorithm。下面构造一个例子说明数字"2" 是紧的：

## 例

考虑完全图  $G = (V, E)$ ,  $|V| = 2n + 1$ , 其中

- $v_0$  与任何一个顶点之间的距离都是 1;
- $v_i$  与  $v_{i+1}$  之间的距离为 1,  $i = 0, \dots, 2n - 1$ ;
- 其余所有两点间距离都是 2;

## 紧性分析（续）

### 例（续）

那么算法构造出的欧拉回路  $L$  可以是  $v_0v_1v_0v_3\dots v_0v_{2n-1}v_0v_2v_0v_4\dots v_{2n}v_0$ ，进行 short-cutting 得到的哈密顿回路  $H$  则是  $v_0v_1v_3\dots v_{2n-1}v_2v_4\dots v_{2n}v_0$ ；

$c(H) = 2(2n - 1) + 2 = 4n$ 。而最优解则是按照相邻选择，即  $v_0v_1v_2\dots v_{2n}v_0$ ，最优权值和为  $2n + 1$ 。令  $n$  充分大即可得到 2 的近似比。

# Christofides 算法

---

不过，这个算法其实还可以改进。注意到数字"2" 来自于将 MST 的边加倍这一操作，而加倍是为了保证欧拉回路存在。但是，并不一定要这样才能够得到一个欧拉图：对于给定的树  $T^*$ ，其上度数为奇数的点（奇点）一定有偶数个，我们将这些点两两配对，随之在每一对匹配的点之间增加一条边，那么构成的图中一定只有偶数度数的点（偶点），也就是一张欧拉图了。换言之：

- 求  $T^*$  中所有奇点的最小权完美匹配  $M^*$ ，将  $M^*$  中的边加入  $T^*$  中得到  $T_e^*$ ，则可以用  $T_e^*$  上的欧拉回路构造哈密顿回路。

# Christofides 算法 (续)

---

注意，我们允许  $T_e^*$  是一个重图 (multigraph)，也就是说： $M^*$  和  $T^*$  中的边都要保留，这可能会造成重边 (multiple edges, 也称平行边)。其中寻找完美匹配可以用带花树算法在多项式时间内求解。

## 定理 (Christofides 算法)

上述算法的近似比为 1.5。

# Christofides 算法：证明

证明.

不妨设  $T^*$  中有  $2k$  个奇点  $v_1, v_2, \dots, v_{2k}$ , 则

$$\{(v_1, v_2), (v_2, v_3), \dots, (v_{2k-1}, v_{2k})\} \text{ 和 } \{(v_2, v_3), (v_3, v_4), \dots, (v_{2k}, v_1)\}$$

是两组完美匹配，我们将其记作  $M_1$  和  $M_2$ 。如下图所示， $M_1$  和  $M_2$  中的边是交错的。

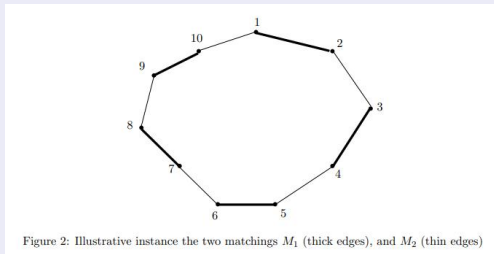


图: 两个完美匹配  $M_1$  (粗边) 和  $M_2$  (细边)

# Christofides 算法：证明（续）

证明（续）.

那么

$$c(H^*) \geq c(M_1) + c(M_2) \geq 2c(M^*) \implies c(M^*) \leq \frac{1}{2}c(H^*)$$

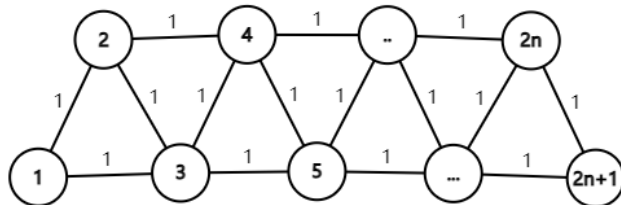
其中第一个不等式里用到了边权的度量性质（相当于在最优的 Hamilton 回路中进行 short-cutting，从而只保留奇点，这些奇点通过取交错边可以得到两个匹配）。另一方面，根据度量性质，对  $T_e^*$  进行 short-cutting 后得到的边权更小，因此

$$c(H) \leq c(T_e^*) = c(T^*) + c(M^*) \leq \frac{3}{2}c(H^*)$$



# Christofides 算法的紧性

这就证明了近似比不超过 1.5。下面再给出例子证明 1.5 是紧的，如下图，



# Christofides 算法的紧性 (续)

## 紧性分析

这是一个完全图，未画出的顶点间距离由所给边下的最短距离确定，例如  $c(v_2, v_{2n}) = n - 1$ 、 $c(v_1, v_{2n+1}) = n$ 。易知  $c(H^*) = 2n + 1$ （按照给边走一圈即可）；而  $c(T^*) = 2n$ （取路径  $v_1 v_2 \dots v_{2n+1}$ ）、 $c(M^*) = n$ （奇点只有  $v_1, v_{2n+1}$ ，其间距离为  $n$ ），而且  $T^*$  与  $M^*$  二者的边正好构成回路  $H$ 。令  $n \rightarrow \infty$ ，于是

$$\frac{c(H)}{c(H^*)} = \frac{c(T) + c(M^*)}{c(H^*)} = \frac{3n}{2n+1} \rightarrow \frac{3}{2}$$

### 3. Shortest Hamiltonian Path

# 最短 Hamilton 路径问题

---

Hamilton 路径问题指在赋边权的无向完全图  $G = (V, E)$  上求边权和最小的 Hamilton 路径（而非回路）。同样，我们也只考虑边权  $c$  满足度量的情形。

在该问题中，我们可以指定路径的端点（endpoints，包括起点和终点），也可以不指定。这就出现了三种情形：无固定起点或终点、固定其中一个点、固定起点和终点。

相比于 TSP 问题，该问题不要求路径闭合，因此也称其 TSP Path 问题；我们总可以将其转换为 TSP 问题：

# 转换为 TSP 问题

---

- 两端点都不指定的情况。我们增加一个虚设顶点 (dummy vertex)，其到其它所有顶点距离都是 0，即可将其转换成 TSP 问题。在 TSP 得到的回路中删除虚设顶点，即可得到一条 Hamilton 路径。
- 指定一个端点的情况。假设指定起点为  $s$ ，那么可以增加两个虚设顶点  $v, w$ ，其中  $v$  仅与  $w$  和  $s$  相连，而  $w$  与所有点相连；这些边权值都是 0。在新图上求解 TSP，得到的回路中一定包含 " $w - v - s$ "，因此将  $v, w$  删除后， $s$  就成了端点。
- 指定起止点为  $s$  和  $t$ 。可以仅增加一个虚设顶点，其到  $s, t$  的距离为 0，而到其余顶点距离为无穷大。

## 转换为 TSP 问题

---

但是，前面的这种转换（或称“规约”）会破坏度量性质，因此我们也没法再使用 Christofides 算法求解。因此这种思路行不通。

# 无固定情形

---

首先尝试模仿前面 Christofides 算法里利用 MST 松驰的思路。

1. 求  $G$  的 MST，得到  $T^*$ ；
2. 求  $T^*$  的奇点（除两个点之外）的最小权完美匹配  $M^*$ ，未匹配的两个点指定为起点和终点；
3. 将  $M^*$  的边加入  $T^*$  中得到欧拉图  $T_e^*$ ，对其中欧拉路径进行 short-cutting（跳过所有已访问的顶点），得到 Hamilton 路径  $P$ 。

该算法也是 1.5 近似的，证明思路与 TSP 基本相同：

# 无固定情形：证明

证明.

假设最优解  $P^*$  为， MST 上有  $2k$  个奇点，那么可以拆成两个去除了两点的完美匹配：

$\{(v_1, v_2), (v_3, v_4), \dots, (v_{2k-3}, v_{2k-2})\}$  ( $v_{2k-1}$  和  $v_{2k}$  没有匹配)，以及

$\{(v_2, v_3), (v_4, v_5), \dots, (v_{2k-2}, v_{2k-1})\}$  ( $v_1$  和  $v_{2k}$  没有匹配)，记为  $M_1$  和  $M_2$ 。于

是  $2c(M^*) \leq c(M_1) + c(M_2) \leq c(P^*)$ ，进而有

$$c(P) \leq c(M^*) + c(T^*) \leq \frac{3}{2}c(P^*)$$

□

## 无固定情形：求解完美匹配

---

那么，如何求解去掉任意两点的最小权完美匹配问题呢？直观上可以暴力搜索，枚举所有可能的起止点对，在  $O(n^2)$  个匹配中寻找最好的结果。也可以用这种方法：引入两个虚设顶点  $a, b$ ，这两个点与所有奇点连接，且边权为 0，则在最小权完美匹配中  $a, b$  一定各自匹配到一个奇点，这相当于去掉了任意两点后的完美匹配最优解。

# 固定一个端点

---

接下来增加条件：要求固定某个点  $s \in V$  为起点。注意到：在构造欧拉回路时，只要  $s$  是奇点，它就一定会变成端点。因此，如果在  $G$  的 MST  $T^*$  中  $s$  本身就是一个奇点，那么只要让它不被匹配即可；否则  $s$  是一个偶点，我们要想办法让它变成奇点。

为了后续叙述简单，定义  $T^*$  中的“误点（vertices of wrong degree）”是满足下面两个条件之一的点：

- $V \setminus \{s\}$  中的奇点；
- 若  $s$  是偶点，则  $s$  也是误点。

## 固定一个端点 (续)

---

这里的奇点和偶点都是相对于图  $G$  的 MST  $T^*$  而言的。显然误点一定有奇数个：若  $s$  在  $T^*$  中是奇点，那么  $V \setminus \{s\}$  中的奇点有奇数个，这些奇点都是误点；若  $s$  在  $T^*$  中是偶点，那么  $V \setminus \{s\}$  中的偶数个奇点与  $s$  都是误点，加起来仍为奇数个。

我们在所有误点中求除一个顶点（不包含  $s$ ）外的最小权完美匹配  $M^*$ 。将  $M^*$  中的边加到  $T^*$  中得到图  $T_e^*$ 。考虑其中起点  $s$  的两种情况：

- 若  $s$  在  $T^*$  中为奇点，则  $s$  不是误点，其在  $T_e^*$  中也是奇点（此时  $s$  和求完美匹配时去掉的点直接分别构成起点和终点）；
- 如果  $s$  在  $T^*$  中的度数是偶数，则  $s$  是误点，

## 固定一个端点（续）

---

- 若  $s$  与其它一个误点匹配，会被多添一条边从而变成奇点；
- 若  $s$  没有与其它点匹配，说明没有其它误点，我们只需删去与  $s$  相连的任一条边即可将  $s$  变成奇点。

因此，我们总能让  $s$  在  $T_e^*$  中变成奇点，这样一来它在最终路径里一定会变成端点了。对  $T_e^*$  中的欧拉路径进行 short-cutting，即可得到 Hamilton 路径  $P$ 。该算法仍是 1.5 近似的，如下：

# 固定一个端点：证明

证明.

设最优解为  $P^*$ ,  $G$  的 MST 中有  $2k+1$  个误点,  $v_1, v_2, \dots, v_{2k+1}$ , 有

$M_1 = \{(v_1, v_2), (v_2, v_3), \dots, (v_{2k-1}, v_{2k})\}$  (去除了  $v_{2k+1}$ ) 和

$M_2 = \{(v_2, v_3), (v_3, v_4), \dots, (v_{2k}, v_{2k+1})\}$  (去除了  $v_1$ ) 是两个去除一个点后的完美匹配, 因此  $c(P^*) \geq c(M_1) + c(M_2) \geq 2c(M^*)$ , 进而有

$$c(P) \leq c(M^*) + c(T^*) \leq \frac{3}{2}c(P^*)$$

□

## 固定两个端点

---

接下来，我们设计算法求固定起止点  $s, t$  的最大权哈密顿路径，并定义此时  $T^*$  中的“误点”为

- $V \setminus \{s, t\}$  中的奇点；
- $\{s, t\}$  中的偶点。

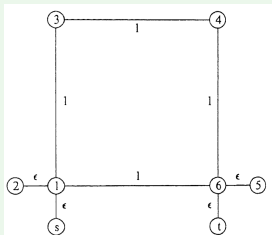
并采用与之前同样的算法。容易知道此时误点一定有偶数个：在误点中做最小权完美匹配得到  $M^*$ ，那么在  $T_e^*$  中  $s, t$  的度数均为奇数，其余点的度数为偶数，于是存在从  $s$  出发到  $t$  的欧拉路径。此外，为了保证  $t$  是终点，我们要把欧拉路径中所有（可能会）出现的  $t$  都使用 **short-cutting** 跳过。

## 固定两个端点 (续)

不过，分析算法的时候与之前出现了一些不同。下面这个例子可以说明近似比至少是  $\frac{5}{3}$ ：

### 例

下图是一个 8 个点的完全图，其中未画出的顶点间距离由所给边下的最短距离长确定。 $\epsilon$  是一个足够小的正值。



# 固定两个端点：例子分析

## 分析

$$P^* = \{(s, 1), (1, 2), (2, 3), (3, 4), (4, 5), (5, 6), (6, t)\}$$

$$T^* = \{(s, 1), (1, 2), (1, 3), (1, 6), (4, 6), (5, 6), (6, t)\}$$

$$M^* = \{(2, 3), (4, 5)\}$$

此时  $c(P^*) = 3 + 6\varepsilon$ , 但  $c(T^*) = 3 + 4\varepsilon$ 、 $c(M^*) = 2 + 2\varepsilon$ , 算法会给出  $c(P) = 5 + 6\varepsilon$  的结果, 那么

$$\frac{c(P)}{c(P^*)} = \frac{5 + 6\varepsilon}{3 + 6\varepsilon} \rightarrow \frac{5}{3}$$

# 固定两个端点：近似比

## 定理

对于固定  $s, t$  的情况，该算法的近似比为  $5/3$ 。

## 证明.

设最优解为  $P^*$ ，我们将  $P^*$  中的边加入到  $T^*$  得到图  $Q$ （这可能是个重图）。由于  $P^*$  是一条 Hamilton 路径，因此在  $Q$  中只有起点和终点的奇偶性发生了变化。容易看出，某个顶点在  $T^*$  是误点当且仅当其在  $Q$  中是奇点。

# 固定两个端点：证明（续）

## 证明（续）.

在路径  $P^*$  上通过 short-cutting 仅保留所有（偶数多个）误点，其上存在一个误点的完美匹配  $E$ ，有  $c(E) \geq c(M^*)$ 。将  $Q$  里所有  $E$  中的边删除，得到图  $Q \setminus E$ ，这个图中所有点的度数都是偶数；且由于  $E \subseteq P^*$ ，有  $T^* \subseteq (Q \setminus E)$ ，即  $Q \setminus E$  是连通图。故  $Q \setminus E$  中存在一条欧拉回路，这条回路包含两组误点的完美匹配，即  $c(Q \setminus E) \geq 2c(M^*)$ 。

于是， $c(T^*) + c(P^*) \geq c(Q) = c(E) + c(Q \setminus E) \geq 3c(M^*)$ ，进而

$$c(P) \leq c(T^*) + c(M^*) \leq c(T^*) + \frac{1}{3}(c(T^*) + c(P^*)) \leq \frac{5}{3}c(P^*)$$

因此近似比不超过  $5/3$ 。而前例说明  $5/3$  是紧的，因此该算法近似比正是  $5/3$ 。□

# The End